

Усупаев Ш.Э.

**ГИДРИД ЖЕРДИН СУУСУНУН ФУНКЦИЯСЫНЫН
ИНЖЕНЕРДИК ГЕОНОМИЯСЫ**

Усупаев Ш.Э.

**ИНЖЕНЕРНАЯ ГЕОНОМИЯ ФУНКЦИИ ВОДЫ
ГИДРИДНОЙ ЗЕМЛИ**

Sh.E. Usupaev

**ENGINEERING GENOMIC FUNCTIONS OF WATER
OF HYDRIDE EARTH**

УДК: 551.1: 551.4

Макалада Күн системасынын жер жана планеталардын геологиялык көп убакыт тузуу ичинде суу жөнүндө маалыматтары жана анын иш-милдеттери келтирилген. Суу Жер байыркы муз каптоонун тарыхында курсак жер үстүндө өмүргө кризис пайда кылат. Океандардагы суу өмүрдү күлдөтүп сактайт. Байыркы муздар, чаң, космосту каптап асман телолорунун жарылуулар таасири менен кагылышуусунда пайда болот. Бул күндүн нурун жабып жашоо үчүн кризис алып келет. Нефть жана газ кендери пайда болушу асман телолор урулуп кагылышуу рубеждер себебинде өмүргө кризис жаратат. Катастрофа инженердик-геономиялык (ИГН) рубеждер геологиялык окуяларды жана геохронологиянын шкаласын бир кыйла аныктайт.

Негизги сөздөр: суу, гидрид, муз, инженердик геономия, функция, металлогения, убакыт шкаласы, жашоо, биосфера, ноосфера, сокку, кагылышуу, асман телолор.

В статье приведены сведения о воде и ее функциях в течение геологически длительного времени образования Земли и планет Солнечной системы. Вода в древней истории Земли вызвала оледенения с кризисами жизни на Суше. В океанах вода сохранила жизнь в расцвете. Древние оледенения Земли вызваны запылением межпланетного пространства от взрывов ударного столкновения небесных тел. Это приводило к закрытию лучей Солнца для жизни. Образование нефтегазоруд связано с рубежами ударного столкновения Земли с небесными телами и кризисами жизни. Инженерно-геономическая (ИГН) шкала рубежей катастроф существенно уточняет геохронологическую шкалу и геособытия.

Ключевые слова: вода, гидрид, оледенения, инженерная геономия, функция, металлогения, шкала времени, жизнь, биосфера, ноосфера, удар, столкновения, небесные тела.

The article provides information on water and its functions during the geologically long time of formation of the Earth and the planets of the solar system. The water of the ancient history of the Earth caused glaciation with the crises of life on the Land. In the oceans, water has kept life in its prime. The ancient glaciations of the Earth are caused by dusty interplanetary space from explosions of impact collisions of celestial bodies. This led to the closure of the sun's rays for life. The formation of the oil and gas industry is connected with the boundaries of the shock collision of the Earth with celestial bodies and life crises. IGN scale of the boundaries of catastrophes significantly refines the geochronological scale and geo-events.

Key words: water, hydride, glaciation, engineering geonomy, function, metallogeny, time scale, life, biosphere, noosphere, impact, collisions, celestial bodies.

Вода, древнейшее на Земле и Вселенной уникальное соединение из двух атомов водорода - Н (самого легкого с массой 1, 0080 а.е.) с 16-ым по массе 12,010 а.е. одним атомом кислорода – О.

Вода имеет универсальные аномальные свойства гидридного раствора из 48 сочетаний молекул с благоприятными для генезиса жизни вспышками механизма изначальных корней био-ростков ноосферы гидридной Земли [1-10].

Исследованная Лариным В.Н. (1980г.) космохимическая закономерность изменения дефицита химических элементов в зависимости от величины потенциала их ионизации на примере сравнения состава Солнца, Земли, Луны и метеоритов (пояса астероидов) позволила выявить функциональную связь, воздействия магнитных сил в протопланетной стадии развития Солнечной системы [3].

Магнитное поле Солнца при высокой степени потенциала ионизации задерживает на удалении трудно-ионизируемые и останавливает вблизи от Светила легкоионизируемые элементы, а нейтральные частицы не подвергаются магнитной сепарации. При этом высокие потенциалы ионизации имеют золото, платину, ртуть, а малыми потенциалами ионизации обладают уран, калий, рубидий [3].

В процессе магнитной сепарации элементов водород по распространенности характеризуется обилием при расчете на 100 атомов кремния на Солнце 3 млн. единиц и кислорода 3 тыс. единиц, а на Земле водорода 300 и, кислорода 3. При соединении водорода с рыхлой электронной оболочкой, с металлами, в одном объеме металлы вследствие значительной рыхлости их внешних электронных оболочек способны растворить от сотен до тысячи объемов водорода. При этом растворенный в металле водород находится в виде голого протона с эффективным размером 10^{-13} см [3].

Превалирование водорода в мироздании, галактике, звездах и внутри Солнца, позволяют гидридам металлов в первую очередь при образовании планет создавать плотные металло-спрессованные ядра различных размеров. Твердые ядра гидрид-металлов при благоприятных условиях могут дегазировать, и расширять вышележащие слои и сферы планет [3, 8].

По Ларину В.Н. (1980) в геохимической модели изначально гидридной Земли центральное квазитвердое ядро на глубине 5100-6371 км представлено как и выше находящийся тонкий слой (5000-5100) км – гидридами металлов [3, 8].

Выше расположенное внешнее квазижидкое ядро (2900-5000) км, состоит из металлов с растворенным в них водородом. Нижняя (1000-2900) км и средняя (400 – 1000) км мантии - металлы. Верхняя мантия (33-400) км и земная кора (0-33) км состоят из силикатов и окислов [3, 7-8].

Граница современной гидрогеосферы высотой над поверхностью планеты 300 км, распространена от атмосферы верхней, где имеет место ионосферная влага по Павлову А.П. (1977 г.) и, до нижней ее границы вглубь недр Земли до 300 км, где представлена химически связанная вода.

По Виноградову А.П. (1960, 1967 гг.) 7% от массы всех горных пород Земли при дегазации содержали ювенильную воду в виде пара и жидкой воды, а в слое мощностью 20-25 км содержит воды 1,3 млрд. км³.

По Сидоренко А.В. и др. (1978 г.) количество захороненных вод в земной коре составляет за всю историю Земли 59,8%, а освобожденной при метаморфизме пород докембрия 41%, поровые воды содержащиеся в не метаморфизованных породах составляют 18,8%.

По расчетам Тимофеева П.П. содержание воды в земной коре и мантии составляет около 30 млрд. км³. По Граве Н.А. (1968 г.) запасы подземных вод, законсервированной в льдах многолетней мерзлоты, составляют 200-500 тыс. км³. По Гармонову И.В. и др. (1974) запасы подземных вод до глубины 200 м., составляют 23,4 млн. км³. По Калинин Г.П. (1968г.), Львовичу М.И. (1974 г.) до глубины 5 км, запасы подземных вод активного водообмена оцениваются в 60 тыс. км³ [2, 7, 9].

По Клиге Р.К. и др. (1985 г.) 0,1 км³ в год воды Земля теряет в космическое пространство. По Суетовой Н. (1968 г.) при полном таянии ледников объем 60 млн км³ уровень воды в океане поднимется на 200 м [2].

Инженерно-геономические (ИГН) функции воды связаны в геологически длительное время с, условиями и механизмом образования древних оледенений палео-Земли, содержащих воду как функцию для существования древней жизни [7, 8].

Современные и древние гипотезы генезиса воды не рассматривают причины оледенений на Земле и подразделяются на следующие [7, 8, 10]:

А. «Горячего» генезиса, контракционная по Эли де Бомон, 30-ые годы XIX века. При остывании изначально расплавленного Земного шара, в первородной коре среди химических соединений водород с кислородом образовали воду, создавшего влагу в облаках атмосферы, которые в круговороте выпадая за миллионы лет заполнили впадины, образовав Мировой океан [7-10].

Б. «Холодного» генезиса, т.е. вода содержалась во всех структурах первичной материи (в метеоритах

содержится до 0,5% воды), при разогреве и последующей вулканической деятельности, лавами вынесена на поверхность, конденсировалась и образовала атмосферу и океаны Земли [7-10].

В. «Холодного» генезиса, при этом исходят из того, что на одной из стадий разогрева в мантии ионы водорода и кислорода, образовали пар, который под давлением формировав трещины, затем и разломы на глубине 50-70 км, откуда выносили на глубину 12-20 км, насыщая растворенные соли и металлы с водой, а при выходе на поверхность создали первичные океаны [7-10].

Г. «Космического» генезиса, когда на Землю вместе с частицами из Космоса, лавинообразно выпадают протоны, захватывающие электроны в верхних слоях атмосферы и образуя атомы водорода присоединяясь с кислородом формируют выпадающую на поверхность воду до 1,5 тонн в год, заполнившую океаны за миллиарды лет [7-10].

Д. «Эндогенного» сравнительно молодого происхождения воды, из-за расширения Земли 250-300 млн лет тому назад при переходе протерозоя в мезозой (радиус планеты увеличился в 2 раза), при этом раскол единого материка, высвободил по образовавшимся трещинам и разломам скрытую под Землей воду, заполнившую океаны [7-10].

Е. «Экзогенного» происхождения воды, вследствие эффекта аномального сжатия объемов вещества начиная от обычного и до высоких давлений, при поглощении металлами водорода от десятков до тысячи в сравнении с изначальным объемом. При атмосферном давлении щелочные металлы сжимаются в объеме в 1,5 раза. Металл – водородистые соединения при объединении в небесные тела, в центральных областях испытывали наибольшие сжатия, а при росте температуры до критического значения начал идти обратный процесс дегазации водорода, что приводило к расширению планеты. При этом соединения водорода в недрах с атомами кислорода, выносили по разломам на поверхность воду образующую Мировой океан [10].

Основа «Единой Теории Земли» разработанная автором, позволяет на базе новых научных направлений «Катастрофоведение-КСВ» и «Инженерная геономия-ИГН», обосновать функции воды при обосновании и решении следующих фундаментальных проблем [1, 7, 8]:

1. Обоснования возраста и роли воды в генезисе жизни на палео-небесных телах и Земле.

2. Определения роли метеорной и ювенильной воды в генезисе ресурсов и в импульсах рубежей «Геометаллогении» планеты Земля.

3. Создания Единой шкалы ИГН времени с учетом роли воды и ее функций в ударно-катастрофической сравнительно-планетологической истории генезиса небесных тел Солнечной Системы.

Первое. Земля, планеты и небесные тела, формировались в пределах взаимного воздействия полей сил электромагнитной сепарации ионов и химических элементов. В результате резонансного орбитального

сближения укрупняющихся небесных тел и иерархически соподчиненного их ударного столкновения, они объединялись между собой, удерживаемые в сфере гравитационной и электромагнитной влияния Солнечной системы [1, 7, 8].

Начиная от мельчайших гидрид-металлических пылеватых частиц и газовой туманности, ударными слипаниями мелких метеоритов, затем гравитационным слипанием крупных астероидов и допланетных тел, на их поверхности охлаждением адсорбированы были соединения водорода с кислородом в форме разновидностей воды [1, 7, 8].

Образование компонент космической воды происходит до возникновения планеты, т.е. 5-7 млрд лет назад. Возраст гидрогеосферы 4-3,5 млрд лет, т.е. на земную поверхность вследствие круговорота древней первой воды падали дожди. Гидросфера по обнаруженным на юго-западе Гренландии Мурбатом С., Найоном Р.К. и Панхерстом Р. Дж. (1979 г.) осадочным древним породам в виде бурого железняка имеет возраст 3,76 млрд лет. Около 1,5 млрд лет тому назад по Сорохтину О.Г. (1974 г.) в нижнем рифее приходится максимум нарастания гидрогеосферы [4-9].

Возраст жизни по Малиновскому Ю.М. по летописи биосферы оценивается в 4 млрд лет. В интервале геологического времени 4,6-3,8 млрд лет назад по Войткевичу Г.В. (1988 г.) происходили 2 события: а. зарождение жизни на самой планете; б. привнесение механизмом панспермии микроорганизмов по Хойлу Ф. и Викрамассингу С. (1981 г.) до 10^{18} неземных спор из космического пространства кометами в облако Оорта. Массовое содержание в весовых процентах в живом веществе по распространенности химических элементов 10 (O, C, H) на порядок выше чем N, Ca, R, Si) [3, 8-10].

ИГН механизмы оледенений в истории Земли и кризисов жизни по Ачкасову П.В. (2006 г.) тесно связаны с особенностями ударных столкновений внутренних и внешних от Земли планет в Солнечной Системе [1, 7, 8].

1. При внешнем орбитально удаленном от Земли столкновении планет-гигантов межпланетное пространство заполнялось газами, пылеватым веществом, кометными и астероидными небесными телами продуктам взрыва от ударного события. Вещества более тяжелые выпадали обратно на поверхность планет-гигантов, часть падала на спутники планет и образовывала новые, а наиболее дальние выбросы на пути к поверхности Солнца приводили к бомбардировке поверхности древней Земли и внутренних планет. Выпавшие на поверхность Солнца вещества от столкновения планет вызывали длительную вспышку Светила вызывая термические кризисы жизни. В течение десятков миллионов лет пространство между Солнцем и планетами гигантами постепенно и заметно понижала температуру. Вследствие медленного продвижения фронта запыленности до Солнца оледенение наступало достаточно плавно.

2. При столкновении Земли, а также орбитально близких к Светилу внутренних планет с небесными

телами, запыление космического пространства от веществ ударного выброса и экранирование лучей Солнца происходило ускорено и оледенение наступало катастрофически быстро.

Возраст оледенения зафиксированного в палео-моренных геологических разрезах 2,8 млрд лет, связан с столкновением древней Земли с Арктической планетой. Оледенения древнее по возрасту и условия были, однако более 3 млрд лет назад Земля и ее орбита располагались ближе к тогда более горячему Солнцу [1, 7, 8].

ИГН дешифрирования ударных столкновений планет показывает по ледниковым отложениям, что они происходили в результате произошедших ударных столкновений с небесными телами 2,5 млрд лет Марса, 2,4 млрд лет с Нептуна, 2,25 млрд лет назад Венеры которые приводили к запылению космического пространства и изолированию планет от лучей Солнца, следы которых запечатлены в 3 горизонтах гуронского и нижнепротерозойского по возрастам древнейших ледниковых образований на Земле [1, 7, 8].

Среднерифейское оледенение на Земле сформировалось при запылении Солнечной системы от повторного следующего ударного столкновения 1,4 млрд лет назад планеты Венеры с подобным небесным телом. Два горизонта верхнерифейских оледенений на Земле произошли от ударных столкновений 1,05 млрд лет Юпитера, а 850 млн лет назад Урана столкнулся с подобными прилетевшим на резонансную орбиту небесным телом. Позднедевонское оледенение на Земле вызвано было ударным столкновением 400 млн лет назад Сатурна с подобным небесным телом. Три горизонта пермо-карбонového оледенения связаны были с ударными столкновениями 330 млн лет Венеры, 290 млн лет Меркурия и 260 млн лет назад Марса с орбитально-резонансно ударно столкнувшимися подобными небесными телами вызвавшими эффект запыления межпланетного пространства и резкого снижения теплового лучистого действия Солнца. Палеогеновое похолодание на Земле произошло в результате ударного столкновения Нептуна 66 млн лет назад с подобным небесным телом [1, 7, 8].

Вышеприведенные данные причин и следствий древних оледенений и межледниковий показывают, что современная вода имеет функционально временную связь с рубежами образования оледенений и палеогидрогеосфер Земли.

ИГН реконструкции палео-оледенений указывают места расположения полосов и наиболее благоприятные в течение геологически длительного времени пути развития и кризиса жизни на Земле.

Второе. Роли метеорной и ювенильной воды в импульсах рубежей «Геометаллогении» связаны с генезисом изначально гидридной Земли [1, 5-7, 8].

По геохимической модели Ларина В.Н. металло-сфера с сплавами и соединениями на основе Si, Mg и Fe расположена в интервале глубин от 150 км до 2900 км. На глубинах от 500 до 2900 км расположены

металлы с растворенным в них водородом и гидрид-металлы внешнего жидкого ядра планеты, а на глубинах 5000-6371 км гидриды металлов заполняют твердое внутреннее ядро [3].

В отношении металлогенических масштабов рудообразования по Старостину В.И. (2017 г.) история земной коры делится на: а) сидерофильные (Fe, Ti, V, Cr, Pt, Au) и б) халькофильные (Mo, Sn, W, Ta, Nb, Be, Sc, Hg, Sb, Cu, Zn, Pb) [5-6].

Сидерофильные группы месторождений имеют рубеж их формирования в интервале 2,8-2,0 млрд лет с максимум пика 2,45 млрд лет. Халькофильные группы месторождений максимум приурочен к фанерозою с рубежом 541-0 млн лет. Рудосфера, имеет толщину слоя 10-15 км и здесь происходит постоянный круговорот вещества [5-6].

До 60-80% мировых ресурсов месторождений полезных ископаемых сформировалось в раннем протерозое. При этом, импульсы эндогенной металлогенической активности с индивидуальным геохимическим спектром рудных формаций на Земле имеют возрасты: 3,5-3,0-2,6-2,3-1,9,-1,4 1,05 (0,65-0,6) млрд лет [1, 5-7, 8].

Главная часть месторождений концентрируется не в самих интервалах эпох и эонов, а на границах смены рубежей времени, т.е. по ИГН концепции сопряжены с ударными столкновениями небесных тел которые создавали импульсы металлогении при скачкообразном увеличении массы и объема палео-Геоида. Например, по Калганову М. изучавшему более 40 лет железорудные кварциты на Земле которые имеют одинаковые мощности на сотни километров протяженности и не выклиниваются на поверхность, привело к гипотезе инопланетного генезиса (т.е. выпадения железной пыли из космоса) которые смывались дождями и талым снегом в моря и океаны [1, 7, 8].

В архее в связи с тем, что певая древнейшая Земля имела 0,08 от современной массы, отложения руд происходило в мелководных пресных водоемах и речных поймах, т.к. песок отсутствует в породах данного возраста. Позднее в нижнем протерозое в рудах начинает появляться крупный песок. Эволюция типов руд зависило от количества воды на Земле. Количество воды с ростом объема Земли от ударных столкновений с небесными телами, и ее функции в металлогении возрастали. Природа рудообразования в металлогении связывается с геохимией, магматизмом, тектоникой и осадконакоплением. При этом, роль воды фактически завуалирована, также как и первоисточник тектоники и магматизма, которые зависят от механизма ударного столкновения и рубежей времени падения небесных тел [1, 7, 8].

Необходимо подчеркнуть, что три серии месторождений эндо-, экзо- и метаморфогенная, связаны с

воздействием воды. Экзогенные месторождения связаны с деятельностью поверхностных вод, а эндогенные содержат воду в месторождениях из магм, карбонатитовых, пегматитовых, скарновых, альбититовых, грейзеновых и гидротермальных. При рудогенезе в условиях высоких давлений и температур формируются метаморфизованные и метаморфические месторождения воды вытесняются и теряются [5-6].

С позиций ИГН круговорота компонент полигрунтов по Григорьеву С.М. (1971 г.) важнейшая функция воды заключается в образовании между интервалами границ Конрада и Мохо механизма дренажной оболочки (ДО) создающих условия для преобразования и перемешивания над астеносферой комплексов пород базальтового и гранитного происхождения [7, 8].

Третье. Вышеприведенные обоснования функций воды в истории образования Земли с учетом механизма катастрофических ударных столкновений небесных тел дает возможность создания «Единой шкалы рубежей гелио- и геовремени», а также развития давно заброшенной науками о Земле теории сравнительной планетологии Солнечной Системы. Концепция экзогенно-космического коптогенеза с ударными столкновениями небесных тел, позволит существенно преобразовать и уточнить современную эволюционную по сути геохронологическую шкалу времени, на основе новых обоснованных выше ИГН причин оледенений, металлогенических импульсов, образования древних океанов и воды благоприятной для генезиса жизни [1, 7, 8].

В целях создания ИГН шкалы рубежей времени, была преобразована система геохронологических и тектонических подразделений Долицкого А.В. (1978 г.), состоящая из 9 тектонических эпох и 9 фаз складчатости. На разработанной ИГН шкале стрелы времени генетически сопряжены 2 вида графо-аналитического измерения дления времени: 1. стрелы времени; 2. спирали времени.

На рисунке 1 приведена составленная «Единая шкала ИГН функций стрелы времени» от ударных столкновений и формирования оледенений, импульсов металлогении, периодизации времени жизни на Земле.

ИГН шкала рубежей времени содержит одновременно информацию о 3 зонах жизни, 5 геологических эрах, 3 тектонических этапах подразделенных на 8 эпох и 9 фаз складчатости. В отличие от традиционной геохронологической шкалы, на ИГН шкале периодизации длительности событий, впервые представлена информация о катастрофизме в генезисе геоида.

На ИГН шкале спирали времени кружочками черного цвета датированы рубежи столкновения геоида с палео-планетами (большие кружочки) и астероидоблемами (малые кружочки) [1, 7, 8].

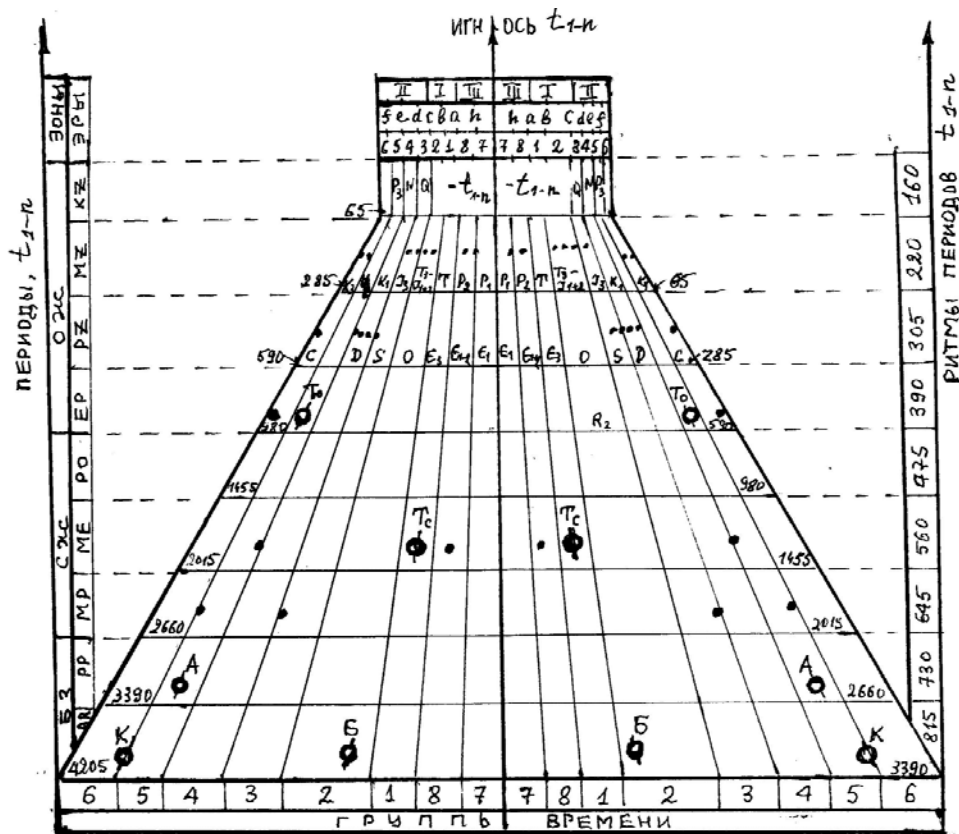


Рис. 1. ИГН ударные рубежи стрелы времени в генезисе тектоники и геодинамики, палео-оледенений, образовании гибридной воды, нефтегазород, металлогении и зарождении жизни в корреляции с геохронологической шкалой Земли:

Левая крайняя ордината - периоды времени Эоны: БЗ – без жизни, СЖ – скрытой жизни, ОЖ открытой жизни. Эры: AR – архей, PP – палеопротозой, MP – мезопротозой, ME – метапротозой, PO – постпротозой, EP – эппротозой, PZ – палеозой, MZ – мезозой, KZ – кайнозой; левая крайняя ордината ритмы времени с интервалом ритма 85 млн лет; ось абсцисс группы времени (1-8) последовательности тектонического развития от этапа геосинклинали, пред- и до орогенеза; кружки большие со штрихами рубежи ударного столкновения Земли с подобными небесными телами с образованием огромных инопланетных планетоблем: Б - Бразильской с возрастом компотогенеза и формирования воды без жизни 4 млрд лет тому назад, К-Канадской возрастом 3,5 млрд лет тому назад с формированием воды достаточной по условиям зарождения и существования скрытой первой жизни, А – Арктической с возрастом 2,8 млрд лет с водой и скрытой жизнью, Тс –Тетис с обилием воды и скрытой жизни преобразующейся в открытую, Т0 – Тихий с возрастом ударного столкновения 0,67 млрд лет с водой и открытой жизнью; кружки черные малые - времена ударного столкновения Земли с малыми небесными телами астероидоблемами приводящими к надрегиональным кризисам жизни, буквы английского алфавита – границы смены тектоно-геодинамических движений, - t_{1-n} рубежи будущего времени после четвертичного периода.

На рубеже 670 млн лет в результате ударного столкновения Геоида с подобным планетным небесным телом с внешней от Солнца орбиты, произошла смена криптозой-протозойского эона от скрытой жизни к эону фанерозойской открытой жизни. Столкновение Геоида с подобным планетным небесным телом, произошел на раннеорогенном этапе, в завершении байкальской тектонической эпохи, в кулганской фазе складчатости.

В фанерозое Геоид после планетоблемного ударного столкновения 670 млн лет тому назад до настоящего времени сталкивался с десятками астероидов. На ИГН шкале спирали времени приведены рубежи столкновения Геоида в фанерозое с нанесенными 27 астероидами [1, 7, 8].

Из ИГН стрелы рубежей ремени видно, что в мезозойскую эру произошло 37% (10) ударных столкно-

вений геоида с астероидоблемами в течение геологического периода от верхнего триаса до верхней юры, т.е. на переходе геосинклинального в предоргенный этапы развития.

На ИГН шкале рубежей времени видно, что спираль и стрела времени пересекаются между собой. По 4 ударных столкновений астероидов с Геоидом произошли в докембрии, нижнем и среднем девоне, 2 столкновения в неогене и по 1 столкновению в нижнем ордовике, среднем силуре, верхнем карбоне, верхнем палеогене [1, 7, 8].

В ИГН шкале наиболее крупные рубежи именуется «эонами» и выделяются по увеличению геонического возраста: а) открытой жизни – фанерозой (по геологической шкале); б) скрытой первой жизни (криптозой-протозой); в) безжизненный. Вторая по величине иерархии геонического времени «эры» разделены рубежами времен 5-ти ударных

столкновений древней Земли с подобными небесными телами. При этом эра до первого столкновения именуется катархеем. Оставшиеся эры имеют по Ачкасову П.В. (2006) названия установленных ИГН дешифрированием планетоблем: Бразильская архей I возраст от 4,0-3,5 млрд лет; Канадская, архей II, 3,5-2,8 млрд лет; Арктическая, афебий от 2,8 до 1,9 млрд лет; Тетис, рифей от 1,9 до 0,67 млрд лет; Тихоокеанская, венд-фанерозой от 0,67 до 0 млрд лет. Более мелкие по интервалам времени подразделения в ранге периодов связаны с возрастами ударного столкновения Земли с крупными астероидами [1, 7, 8].

Из выше приведенной ИГН шкалы рубежей времени, связанной с механизмом ударного столкновения палео-небесных тел и Земли функции воды заключались: а) в образовании палео-оледенений приводивших к кризисам жизни; б) формировании воды океанов как смеси земного и инопланетного генезиса, создавшие условия для проявлений импульсов развития жизни в древних биосферах как фундаментальной и глубоких корней современной био- и ноосферы.

Выводы.

1. Обоснованы связанные с ударными столкновениями небесных тел функции воды играющие фундаментальную роль в формировании ритмов оледенений, металлогенических импульсах, образовании нефтегазород, генезисе компонент скрытой и первой жизни на Земле.

2. Приведена основа новой ИГН шкалы рубежей стрелы времени, базирующаяся на ударных столкновениях небесных тел, для совершенствования и

уточнения геохронологической шкалы времени на примере Единой теории изначально гидридной Земли Солнечной системы.

Литература:

1. Ачкасов П.В. Происхождение Земли и небесных тел. - Новочеркасск, 2006. - 207 с.
2. Клиге Р.К., Данилов И.Д., Конищев В.Н. История гидросферы. Научный мир, 1998. - 369 с.
3. Ларин В.Н. Гипотеза изначально гидридной Земли. - М.: Изд-во Недр, 1980. - 216 с.
4. Малиновский Ю.М. Недр летопись биосферы. - М.: Изд-во Недр, 1990. - 161 с.
5. Старостин В.И. Минеральные ресурсы и цивилизация. - М.: МАКС Пресс, 2107. - 248 с.
6. Старостин В.И. Металлогения: учебник. - М.: КДУ, 2102. - 560 с.
7. Усупаев Ш.Э., Ачкасов П.В. Инженерно-геономическая палеокатастрофия образования объемных фигур планет (на примере геоида Земли). Материалы международной конференции по геодезии и геоинформатике по программе Европейской Комиссии ТЕМПУС. КГУСТА. - Бишкек, 2007. - С. 160-163.
8. Усупаев Ш.Э. Единая ноосферно-инженерно-геономическая теория Земли. Республиканский научно-теоретический журнал «Наука, новые технологии и инновации Кыргызстана», №11. - Бишкек, 2015. - С. 24-38.
9. Фауль Г. Возраст пород, планет и звезд. - М.: Атомиздат. - 95 с.
10. Фрадкин Б.З. Белые пятна безбрежного океана. - М.: Изд-во Недр, 1976. - 104 с.

Рецензент: д.геол.-мин.н. Садыбакасов И.С.